



Сложные электромагнитные поля
и электрические цепи

Межвузовский сборник
№ 10

Уфа 1982

УДК 621.3

И.Л. ГЕРЛОВИН

К ВОПРОСУ О СОВРЕМЕННОЙ ТРАКТОВКЕ ПРИРОДЫ ЭЛЕКТРОМАГНИТНОГО ПОЛЯ

Как известно [1,2], электромагнитное поле постулируется Максвеллом. Его физическая природа до сих пор не объясняется. Серия единства электромагнитных и слабых взаимодействий Салама, Вейнберга, Глешоу также не проясняет данный вопрос до конца.

В [3] сформулированы основы единой релятивистской теории фундаментального поля (ТФП). В [4] даны некоторые дополнения к этим основам и показана возможность применения ТФП к конкретным объектам, связанным со структурой атомных ядер, атомов, молекул и квантов.

Здесь излагаются физические и некоторые математические принципы ТФП под углом зрения природы электромагнитного поля.

В ТФП рассматривается фундаментальное поле (ФП), различие проявления свойств которого вызывает известные сейчас сильные, электромагнитные, слабые и гравитационные взаимодействия. ФП постулируется как поле, создаваемое "фундаментальными зарядами" и обладающее "фундаментальным потенциалом" (см. ниже). Оно не совпадает с электромагнитным полем Максвелла, но переходит в него при определенных условиях. При других условиях оно образует поля сильных, слабых и гравитационных взаимодействий [3,4].

ФП и все его проявления самосогласованы с физическим вакуумом (ФВ), который в ТФП постулируется как материальная субстанция, состоящая из множества виртуальных пар, возникающих при аннигиляции устойчивых частиц. При аннигиляции, например, электрона и позитрона возникает - ЭЧВ - элементарная частица вакуума, в данном случае электрон-позитронного. Существует также протон-антинпротонный

Примечание редакции: Статья публикуется в порядке обсуждения.

вакуум. При возникновении ЭЧВ физический вакуум возбуждается. Процесс распространения в ФВ периодических возбуждений ЭЧВ воспринимается как свет. Фотон, согласно ТФП, это ЭЧВ, возбужденная на один период собственных колебаний. Виртуальные пары - это ЭЧВ, возбужденные стационарно или апериодически, и не распространяющиеся в соответствующем вакууме со скоростью света. Физический вакуум, состоящий из ЭЧВ, - сугубо квантовый объект. Он не имеет ничего общего с механическим эфиром XIX века.

Следует отметить, что согласно [5] фермион-антифермионный вакуум обладает свойствами сверхтекучести. Далее, согласно [6,7], движение частиц, подчиненных закону триединства (см. ниже ур.(I)), происходит по геодезическим линиям, соответствующим псевдоевклидову или псевдориманову пространству, тогда как само пространство является евклидовым. Согласно ТФП это справедливо при движении в ФВ.

Эти, а также некоторые другие примеры показывают, что основные идеи ТФП, выдвинутые много лет назад, постепенно завоевывают признание и получают дальнейшее развитие в работах физиков-теоретиков.

В ТФП квантовые свойства не постулируются, они определяются степенью взаимодействия рассматриваемого объекта с ФВ.

Приведем пример на первый взгляд парадоксальный. Движение электрона в атоме-квантовый процесс, поскольку он активно взаимодействует с "невидимыми" ЭЧВ, возбужденными в поле ядра. В объеме атома, например водорода, всегда находятся около 10^7 возбужденных ЭЧВ электрон-позитронного вакуума. Электрон, не успев сделать и одного оборота вокруг ядра по классической траектории, "исчезает", объединившись с виртуальным позитроном, входящим в возбужденную ЭЧВ. Он вновь возникает в ДРУГОМ МЕСТЕ, где находился виртуальный электрон, также входящий в ЭЧВ, участвующую в реакции (см. схему рис. I). Таким образом, согласно ТФП неопределенность движения электрона в атоме является результатом его взаимодействия с ФВ, а не особенностями процесса измерения.

В основе представлений ТФП лежит уравнение типа уравнения А.Эйнштейна для гравитационного поля [13]. В данном случае это уравнение определяет единство пространства-времени-вещества для частицы, движущейся в ФВ и взаимодействующей с ним. Оно имеет вид

$$R_{ik} - \frac{1}{2} g_{ik} R^{(j)} = \frac{8\pi G_2}{c^4} T_{ik}^{(j)}, j = 1, 2, 3, W, \quad (I)$$

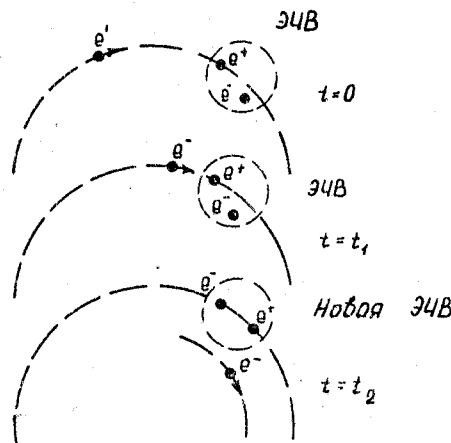


Рис. I. Взаимодействие электрона с ЭЧВ пространстве, c - скорость света.

Индекс $\beta = w$ соответствует ФВ, а индексы $\beta = 1, 2, 3$ - тримподпространствам, рассматриваемым ниже.

В общем случае

$$T_{ik}^{(\beta)} = T_{ik}^{(1,2,3)} + T_{ik}^{(w)}, \quad (2)$$

где $T_{ik}^{(1,2,3)}$ - составляющие тензора энергии-импульса, определяемые свойствами частицы, а $T_{ik}^{(w)}$ - составляющая, определяемая свойствами ФВ.

Напомним еще раз, что согласно [7] речь идет о кинематическом четырехмерном пространстве-времени, в котором траектории движущихся частиц есть геодезические линии псевдо-риманова пространства, а само пространство, как таковое, евклидово.

Согласно ТФП [3,4,9] вещества существует в подпространствах трех уровней:

- самом "глубоком" ($\beta = 3$), в котором находятся исходные структурные элементы ЭЧ и ЭЧВ, не взаимодействующие с ФВ;
- "промежуточном" ($\beta = 2$), в котором находятся структурные элементы непосредственно взаимодействующие с ФВ, причем это взаимодействие реализуется и описывается "естественной системой

где γ - константа силового взаимодействия в подпространстве, имеющем индекс β (у А.Эйнштейна - константа гравитации).

R_{ik} - тензор кривизны четырехмерного пространства-времени (тензор Риччи);

R - его скалярная кривизна (свертка), g_{ik} - метрический тензор, определяющий совместно с R_{ik} и R пространственно-временные условия кинематики движения частицы, T_{ik} - тензор энергии-импульса, объединяющий энергию и импульс ФП в четырехмерном

координат" (см.ниже) и в [3];

- "верхнем" ($\beta = 1$), соответствующем нашему макромиру, в котором ЭЧ проявляются как самостоятельные физические объекты, имеющие точечную структуру.

Модель ЭЧ показана на рис. 2.¹⁾

Любая ЭЧ имеет, в качестве исходной структуры, диполь зарядов ФП, являющийся в то же время "масс-диполем" [10], состоящим из двух масс: положительной и отрицательной. Этот диполь вращается относительно центра O , вынесенного в сторону большей (положительной) массы. Линейная скорость диполя всегда больше скорости света, а частота его осцилляций настолько больше частоты собственных колебаний ЭЧВ, что никаких резонансных явлений быть не может. Эта фундаментальная частица В ПЛОСКОСТИ ВРАЩЕНИЯ с ФВ не взаимодействует. Это и есть "третье", ~~всеобщее~~ подпространство

($\beta = 3$), где могут существовать только тахионы, субчастицы, скорость которых всегда больше c .

Плоскость, в которой движется тахионный диполь, дрейфует относительно точки O на окружности траекторий внешней субчастицы. Плоскость этого дрейфа перпендикулярна плоскости вращения тахионов. Центр O фиксируется тем, что в I-м подпространстве ($\beta = 1$) он и есть место нахождения ~~данной~~ воспринимаемой в I-м подпространстве как точечный объект (см.стрелки прямых и обратных связей, рис.2).

В плоскости дрейфа возникает структура, обозначенная индексом " $3 \rightarrow 2$ " (рис.2). В этой зоне, за пределом плоскости ($\beta = 3$), свой масштаб времени. "Следы пребывания" в ней тахионов существуют столь длительное время, что вместо одного диполя наблюдается множество диполов, число которых равно отношению линейной скорости тахиона к скорости света. На внешней траектории движения этих "следов" тахионного диполя линейная скорость несколько больше c , на внутренней - меньше c . Такая "смешанная" зона не может быть ареной физических процессов и в [4] она именуется "зоной (пространством, уровнем) отображения" свойств третьего подпространства на второе, откуда и индекс " $3 \rightarrow 2$ ".

Ареной реально протекающих физических процессов является второе подпространство ($\beta = 2$). В нем совпадают внутренняя траектория, скорость и число движущихся субчастиц с зоной (уровнем).

1) Модельное описание формально-математического подхода, изложенного в [3,4,9], было найдено И.Л.Герловиным и М.И.Протодьяконовым.

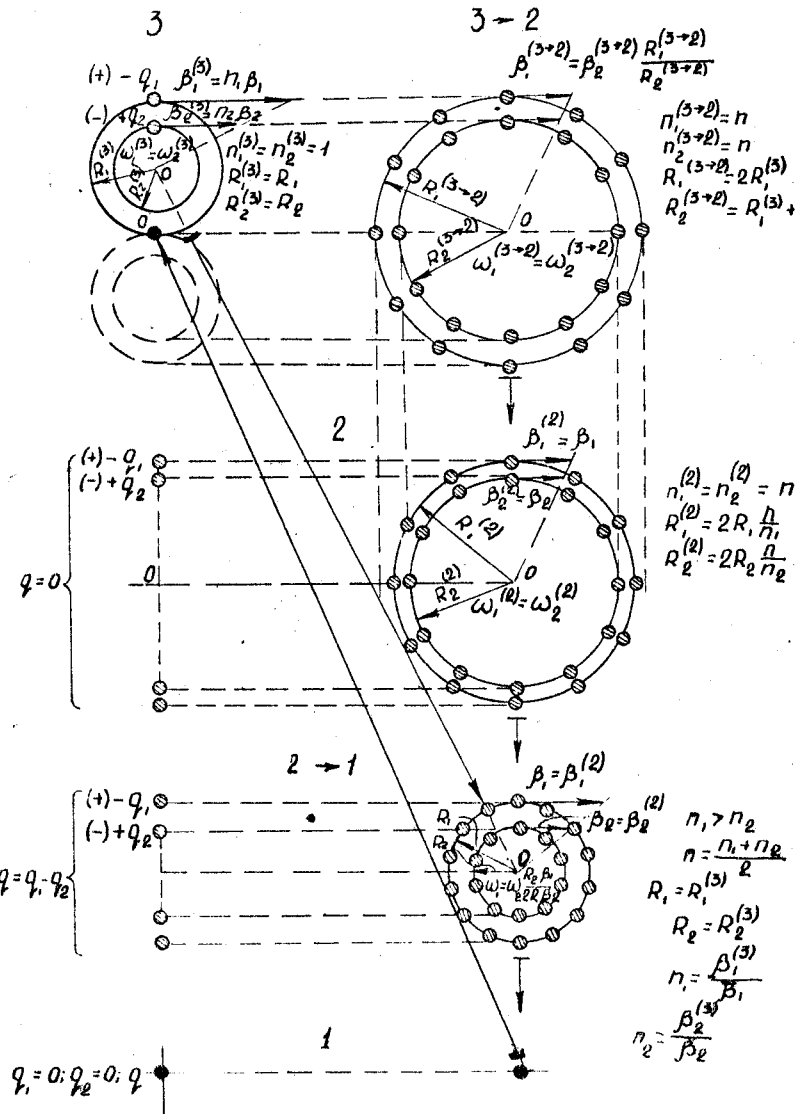


Рис.2. Модель элементарной частицы (ЭЧ): $\beta = v/c$ – относительная скорость субчастицы, вращающейся с линейной скоростью v ; n – число субчастиц на орбите рассматриваемого радиуса и уровня; R – радиус вращения субчастицы на данном уровне; $q_{1,2}$ – фундаментальные заряды; q – блоктрический заряд.

" $3 \rightarrow 2$ ", а наружная траектория имеет несколько меньший радиус, при котором линейная скорость субчастиц меньше c . Частота вращения обеих субчастиц на наружной и внутренней траекториях одинакова.

Второе подпространство – арена сильных взаимодействий между ЭЧ. Электрические заряды в нем себя не проявляют.

В первом подпространстве ($3 \rightarrow 1$) как указывалось, ЭЧ являются принципиально точечными объектами. Вышеописанная структура для

$\beta=2$ скрыта от подпространства $\beta=1$ внутри "черной дыры", под сферой Шварцшильда [3,4]. Для связи этих подпространств необходимо ввести еще одну зону отображения динамических параметров второго подпространства на первое (индекс " $2 \rightarrow 1$ "). Отметим, что линейные ~~размеры~~ скорости подпространства $\beta=2$ без изменения переходят в зону " $2 \rightarrow 1$ ", именуемую в [4] расчетным подпространством. В нем частоты движений на наружной и внутренней окружностях различны и число "отраженных" на них субчастиц тоже становится различным: на наружной – растет, на внутренней – уменьшается, сохраняя постоянной только их сумму. Следствием сугубо релятивистского эффекта является электрический заряд, равный разности сумм фундаментальных зарядов на наружной и внутренней траекториях зоны " $2 \rightarrow 1$ ". Таким образом, электрический заряд существует только в первом подпространстве.

Следовательно, во втором подпространстве возникают сильные взаимодействия между частицами (или сверхсильные – между субчастицами). Электромагнитные взаимодействия наблюдаются только в первом подпространстве. Слабые взаимодействия возникают при образовании и распаде составных ЭЧ [3,4]. Гравитационные взаимодействия возникают в результате взаимного экранирования частицами сил натяжений ФБ, которые всегда и симметрично на них действуют [II,12]. Гравитационные взаимодействия макротел – интегральный эффект от взаимодействия ЭЧ, из которых они состоят.

ЭЧ имеют ту же структуру, что и ЭЧ, но отличаются двойным набором субчастиц на всех уровнях. Знаки фундаментальных зарядов их противоположны в соответствии с соотношениями между частицей и античастицей. На рис.2 это отмечено знаками $+(-)$ и $-(+)$.

Поэтому в первом подпространстве отсутствуют электрические заряды ЭЧ.

Уравнения ФИ имеют разный вид для каждого подпространства,

определяя соответствующие взаимодействия, которые здесь не рассмотриваются [3,4].

Ограничимся лишь одним примером.

Фундаментальное поле во втором подпространстве характеризуется фундаментальным потенциалом, который задается аксиоматическим виде (для системы СГС) [3,4] :

$$\varphi_{\Phi} = \frac{q_i}{r^2} e^{-\frac{r}{R}}, \quad l=1,2,$$

где q_i - фундаментальный заряд, входящий в диполь,

$$R_i = \frac{\hbar}{m_i c};$$

R_i - радиус осцилляций зарядов, входящих в фундаментальный диполь или радиус сферы Шварцшильда, окружающей "черную дыру" второго подпространства; m_i - масса субчастиц, второго подпространства, \hbar - постоянная Планка, c - скорость света.

При $r \gg 10R_i$, $\varphi_{\Phi} = \varphi_k$, где $\varphi_k = q/e$ - кулонов потенциал (в СГС).

Обращаем особое внимание на то, что фундаментальный потенциал φ_{Φ} свободен от обращения в бесконечность, свойственного потенциалам Кулона и Юкавы (рис.3), так как при $r \rightarrow 0$, $\varphi_{\Phi} \rightarrow 0$.

Далее можно ввести понятия о напряженности ФП, опуская индекс i :

$$\vec{E} = -\operatorname{grad} \varphi_{\Phi} = q \frac{e^{-\frac{r}{R}}}{r^2} \left(1 - \frac{R}{r}\right) \vec{r},$$

где \vec{r} - орт в направлении роста r . Объемная плотность фундаментального заряда ρ понимается в смысле

$$\rho = \frac{dV E}{4\pi} = \frac{q}{4\pi} \frac{Re^{-\frac{r}{R}}}{2^4} \left(2 - \frac{R}{r}\right).$$

Очевидно, что φ_{Φ}, \vec{E} и ρ не имеют особенностей в точке $r=0$. Зависимости φ_{Φ}, E, ρ от r даны на рис.3. Там же для сравнения показаны потенциалы Кулона и Юкавы. Кроме того, из условий самосогласования можно получить, что

$$q = \int \rho dV,$$

где dV - элемент объема.

Таким образом, заряд ФП численно равен интегралу от объемной плотности заряда, распределенной во всем пространстве. Следовательно, при "полевом" рассмотрении ЭЧ нет точечного заряда, а роль константы с размерностью заряда играет интеграл (7). При "частичном" рассмотрении, наоборот, "заряд" в точке существует как

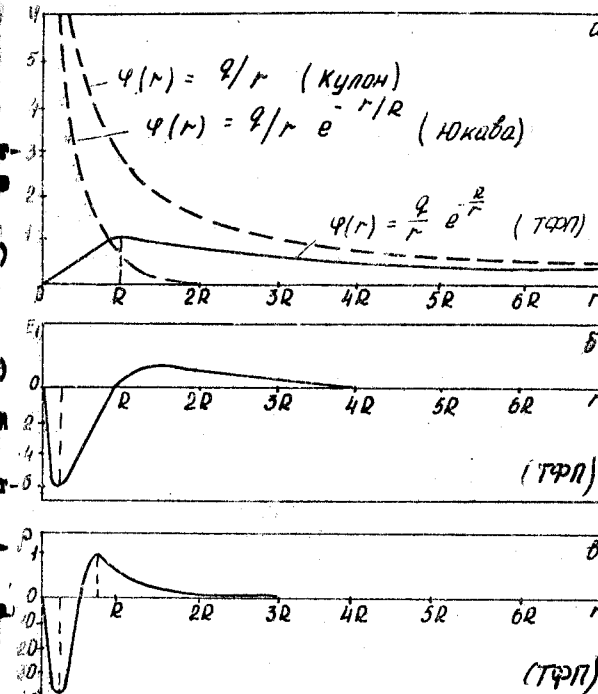


Рис.3. Графики потенциалов и определяемых из них величин для первого подпространства:

- а) потенциалы;
- б) напряженность поля;
- в) объемная плотность зарядов

отображение объемной плотности зарядов во всем пространстве.

При переходе от второго подпространства к первому (через расчетное подпространство "2 → I") ФП не проявляется. В нашем мире, как говорилось, через сферу Шварцшильда "просвечивается" только релятивистская разность фундаментальных зарядов, воспринимаемая как электрический заряд. Следовательно, при отсутствии ФП или поля поляризованных ЭЧВ, уравнения для φ, E, ρ переходят в обычные уравнения электромагнитного поля. В частности, φ_{Φ} переходит в кулонов потенциал. Эти представления о природе электромагнитного поля еще потребуют самостоятельного и обстоятельного рассмотрения, на необходимость которого хотелось бы обратить внимание читателей.

В заключение следует отметить, что на основе представлений, изложенных в данной статье, в [3,4] были аналитически рассчитаны все мировые константы, известные до сих пор лишь из экспериментов, и хорошо с ними совпадающие. Кроме того, была составлена периодическая таблица элементарных частиц с вычислением ряда параметров

для каждой из них. В пустые клетки этой таблицы уже легли около 20 новых частиц, обнаруженных за последние годы.

Эти факты можно считать достаточно убедительным экспериментальным подтверждением теории фундаментального поля.

Л И Т Е Р А Т У Р А

1. Тамм И.Е. Основы теории электричества. - М.: Гостехиздат, 1949. - 768 с.
2. Иваненко Д.Д., Соколов А.А. Классическая теория поля. - М.: ГИТТЛ, 1951. - 281 с.
3. Герловин И.Л. Основы единой релятивистской квантовой теории фундаментального поля (ТФП) - Л., 1973. №. - Рукопись представлена ГАО АН СССР. Деп. в ВИНИТИ. 1973. № 7084-73.
4. Протодьяконов М.М., Герловин И.Л. Электронное старение и физические свойства кристаллов. - М.: Наука, 1975. - 358 с.
5. Sinha K.B. Sivaram C. Sudarshan E.C.S. *Active aspects superfluid state of particle-antiparticle pairs* - Found Phys 1976, v.6, n.1, p. 65-70.
6. Логунов А.А., Фоломешкин В.Н. О геометризированных теориях гравитации. ТМФ, 1977, т.32, №12, с.147.
7. Логунов А.А., Денисов В.И., Власов А.А., Фоломешкин В.Н., Мещвишвили М.А. Новые представления о пространстве и гравитации. ТМФ, 1979, № 3, с.291.
8. Физика микромира: Сб. - М.: Советская энциклопедия, 1980, с.171.
9. Герловин И.Л. Систематизация элементарных частиц и соображения об основах будущей теории. - Киев, 1969. - 53с. (Препринт /ИТФ АН УССР: № 69).
10. H. Hönl *Ergebnisse der exakter Naturwiss.*, 23, 1960, 1952
- II. Герловин И.Л., Крат В.А. О природе гравитации и некоторых вопросах космологии. - В сб.: Динамика и эволюция звездных систем. М.-Л., ВАГО АН СССР, 1975.
12. Крат В.А., Герловин И.Л. О гравитационной постоянной. - Докл. АН СССР, 1974, т.215, №4, с.305.
13. Ландау Л.Д., Лившиц Е.М. Теория поля. - М.: 1973. - 564 с.
14. Протодьяконов М.М., Макаров Е.С. Электронное старение фаз Ловеса $Mg_{1-x}Al_x$, $Mg_{1-x}Ni_x$. - Докл. АН СССР, 1979, т.248, №2, с.401.

НЕДВУЗОВСКИЙ СБОРНИК

№ 10

СЛОЖНЫЕ ЭЛЕКТРОМАГНИТНЫЕ ПОЛЯ
И ЭЛЕКТРИЧЕСКИЕ ЦЕПИ

1981

УДК 536.521

А.Х.ШАРШТЕИН

К ПИРОМЕТРИИ РАБОЧЕГО ТЕЛА В МГД-ГЕНЕРАТОРАХ

В магнитогидродинамических генераторах актуальной является задача пирометрической диагностики рабочего тела. Такая диагностика должна производиться и при давлениях, отличных от атмосферного.

В первых промышленных МГД-генераторах в качестве рабочего тела используется углеводородное пламя с легкоионизируемыми добавками.

Для измерения температуры пламени широко используется метод обращения спектральных линий. Чаще всего в качестве химического элемента, окрашивающего пламя, применяются атомы натрия. Метод обращения спектральных линий будет верно характеризовать температуру среды, если установилось термодинамическое равновесие среды и окрашивающих ее атомов, по обращению спектральной линии которых судят о температуре.

По мере снижения давления может оказаться, что число столкновений Z атомов окрашивающего пламя элемента, с возбужденной молекулой продуктов сгорания будет недостаточно для установления термодинамического равновесия.

Число таких необходимых столкновений может быть оценено на основе выражения [1]

$$Z = \pi^2 \sqrt{\frac{3}{2\pi}} \left(\frac{\hbar\nu}{E_0} \right)^3 \left(\frac{\kappa T}{E_0} \right)^{\frac{1}{2}} \exp \left[-\frac{\hbar\nu}{2\kappa T} - \frac{C_1}{\kappa T} + \frac{2}{3} \left(\frac{E_0}{\kappa T} \right)^{\frac{1}{2}} \right],$$